

Multiplicative ARIMA 모형에 의한 월유량의 추계학적 모의 예측
 (Stochastic Forecasting of Monthly River Flows by
 Multiplicative ARIMA Model)

박 무 중 ** 윤 용 남 *

1. 서론

유출예측은 유출모형의 목적중 중요한 한부분으로 확정론적 모형이 시
 혹은 일유량과 같은 매우 짧은 시간의 유출을 예측하는데 주로 사용되지만
 만약 물리적 변환을 위한 매개변수의 추정이 불가능하고 실제유역에서의
 측정이 힘든 경우 확정론적 모형의 적용에는 한계가 있다. 이에 반해 추
 계학적 모형에 의한 유출예측은 긴시간 장경의 유출량을 과거자료의 통
 계학적 특성변수를 매개변수로 하여 예측하는 방법으로 모형의 적용에 필
 요한 매개변수의 수가 적어 그 적용이 간편한 장점이 있다. 본 연구에서
 는 Multiplicative ARIMA 모형을 적용하여 모형의 선정, 매개변수의 산정
 , 적합성 판정에 대해서 논하고 이 모형이 월유량의 예측에 적합한지를
 검토하였다.

2. 이론적 배경

2.1 Simple ARIMA 모형

일반적인 단순 ARIMA(p,d,q) 모형(Autoregressive Intergrated Moving
 Average Model) 은 다음과 같이 정의된다.

$$U_t = \sum_{j=1}^p \Phi_j U_{t-j} - \sum_{j=0}^q \theta_j e_{t-j}, \quad \theta_0 = -1 \quad (1)$$

여기서 U_t 는 시계열 X_t 의 d 차 제차조작(differencing) 에 의한 값이다.

예를 들어 ARIMA(1,1,1) 형은

** 고려대학교 공과대학 토목공학과 석사과정
 * 고려대학교 공과대학 토목공학과 교수

$$u_t = \Phi_1 u_{t-1} + e_t - \theta_1 e_{t-1} \quad (2)$$

가 되며 여기서 $U_t = X_t - X_{t-1}$ 이 된다.

2.2 Multiplicative ARIMA 모형

Multiplicative ARIMA 모형은 1 차, 2 차 혹은 일반적으로 d 차로 표현되는 단순 ARIMA (p,d,q) 모형(비계절성 ARIMA 모형) 과 주기가 w 인 계절성 차를 이용한 주기성 ARIMA (P,D,Q) 모형(계절성 ARIMA 모형) 의 결합으로 표현될수 있다.

즉, 주기가 w 인 D 차 differencing 이 고려된 ARMA(P,Q) 모형, 다시 말해서 ARIMA(P,D,Q) 모형은 다음과 같이된다.

$$\begin{aligned} & (1 - \Phi_1 B^w - \Phi_2 B^{2w} - \dots - \Phi_p B^{pw}) (1 - B^w)^D X_t \\ & = (1 - \theta_1 B^w - \theta_2 B^{2w} - \dots - \theta_q B^{qw}) \alpha_t \end{aligned} \quad (3)$$

그리고 잔차 α_t 에 적용되는 ARIMA(p,d,q) 모형 (즉 α_t 계열에 d 차 differencing 이 적용된 ARMA(p,q) 모형) 은 마찬가지로

$$\begin{aligned} & (1 - \phi_1 B - \phi_2 B^2 - \dots - \phi_p B^p) (1 - B)^d X_t \\ & = (1 - \theta_1 B - \theta_2 B^2 - \dots - \theta_q B^q) e_t \end{aligned} \quad (4)$$

여기서 e_t 는 독립변수이고 일반적인 다차항 ARIMA(p,d,q)x(P,D,Q)_w 모형은 식(4)의 α_t 를 식(3)에 대입하여 얻을 수 있으며 일반식으로 도식하면 다음과 같다.

$$\Phi(B^w) \Phi(B) (1 - B^w)^D (1 - B)^d X_t = \Theta(B^w) \Theta(B) e_t \quad (5)$$

2.3 Multiplicative ARIMA 모형의 매개변수 산정

모형의 매개변수는 최우법(maximum likelihood method)에 의해 구하는 것이 보통이다. 즉, 매개변수값을 적정범위내에서 가정한후 관측 자료를 사용하여 잔차의 자승치의 합(sum of squares of residuals),

이 최소가 되는 매개변수의 값을 시산에 의해 구하게 되며, 이 값

을 초기치로 하여 비선형 추정법 (nonlinear estimation method) 에 의해 최종치를 구할수도 있다.

2.4 모형의 적합성 판정

Multiplicative ARIMA 모형의 잔차항 ϵ_t 는 정규분포를 가지며 서로 독립적인 무작위 계열 이어야 하므로 모형의 매개변수가 일단 산정되고 나면 관측자료 각각에 해당하는 잔차를 계산하고 이 잔차 시계열이 독립시계열인가를 검사함으로써 모형의 적합성을 판정하게 된다. 이는 잔차 시계열의 자기계열 상관도를 구하여 Anderson 의 Correlogram Test 와 같은 지속성 판정법을 사용하거나 혹은 Porte Manteau Test 등에 의한다. 후자의 경우 Test statistics 는

$$Q = N \sum_{k=1}^L r_k^2(\hat{\epsilon}_t) \quad (6)$$

여기서 $r_k(\hat{\epsilon}_t)$ 는 산정된 매개변수로 이용하여 계산한 잔차계열 ϵ_t 의 Lag k 계열상관계수이고 N 은 자료의 수, L 은 고려하는 Lag 의 수로써 통상 N 의 10 - 20 % 를 취한다. 식 (6) 으로 계산한 Q 값이 신뢰도 $(1-\alpha)$, 자유도 $(L-p-q)$ 인 Chi-Square 매개변수값 $\chi_{1-\alpha}^2, L-p-q$ 보다 작으면 잔차계열은 독립 시계열로 볼수 있다.

2.5 예측 및 예측오차

예측(forecasting) 이란 과거 관측치의 거동을 조건으로하여 미래의 발생가능한 계열을 계산하는 것이다. Multiplicative ARIMA(p,d,q)x(P,D,Q) 모형에 의한 예측치를 정의하고 예시하기 위하여 월유량 계열의 예측에 흔히 사용되는 ARIMA(2,0,0)X(0,1,1)₁₂ 에 대해 생각해 보기로 한다. 식(5) 에서 p=2, d=0, q=0, P=0, D=1, Q=1, $\omega = 12$ 로 하여 X_t 에 관해 전개하면

$$X_t = \phi_1 X_{t-1} + \phi_2 X_{t-2} + X_{t-12} - \phi_1 X_{t-13} - \phi_2 X_{t-14} + \epsilon_t - \theta_1 \epsilon_{t-12} \quad (7)$$

시각 t 에서 Lead Time L 을 가지고 예측하면 $X_t(L)$ 은 X_{t+L} 의 조건부 기

대치이다. 즉

$$X_t(L) = [X_{t+L}] = \phi_1 [X_{t+L-1}] + \phi_2 [X_{t+L-2}] + [X_{t+L-2}] - \phi_1 [X_{t+L-1}] - \phi_2 [X_{t+L-1}] + [\epsilon_t] - \theta_1 [\epsilon_{t+L-2}] \quad (8)$$

여기서 [] 는 기대치(expectation) 를 의미하며 현재 및 과거 자료의 기대치는 자료값 그 자체이며 미래자료의 기대치는 예측치이다.

따라서

$$X_t(1) = \phi_1 X_t + \phi_2 X_{t-1} + X_{t-1} - \phi_1 X_{t-2} - \phi_2 X_{t-3} - \theta_1 \epsilon_{t-1}$$

$$X_t(2) = \phi_1 X_t(1) + \phi_2 X_t + X_{t-1} - \phi_1 X_{t-1} - \phi_2 X_{t-2} - \theta_1 \epsilon_{t-1}$$

⋮

$$X_t(3) = \phi_1 X_t(2) + \phi_2 X_t(1) + X_t(1) - \phi_1 X_t - \phi_2 X_{t-1}$$

⋮

한편, 시각 $t+L$ 에서의 자료치는 시각 t 에서의 L 선행예측치 $X_t(L)$ 과 예측오차 $e_t(L)$ 의 합이라 할수 있으므로

$$X_{t+L} = X_t(L) + e_t(L) \quad (9)$$

또한, 자료계열 X_t 는 독립시계열 ϵ_t 의 무한가중합 (infinite weighted sum of ϵ_t) 으로 생각할수 있으므로

$$\begin{aligned} X_{t+L} &= \sum_{j=0}^{\infty} \psi_j \epsilon_{t+L-j} = \sum_{j=0}^{L-1} \psi_j \epsilon_{t+L-j} + \sum_{j=L}^{\infty} \psi_j \epsilon_{t+L-j} \\ &= e_t(L) + X_t(L) \end{aligned} \quad (10)$$

따라서 예측오차는

$$e_t(L) = \sum_{j=0}^{L-1} \psi_j \epsilon_{t+L-j} \quad (11)$$

식(11) 의 가중치 는 다음식으로부터 구할수 있음을 증명할수 있다.

$$\Phi(B^w) \Phi(B) (1-B^w)^D (1-B)^d \Psi(B) = \Theta(B^w) \Theta(B) \quad (12)$$

여기서

$$\Psi(B) = \psi_0 + \psi_1 B + \psi_2 B^2 + \psi_3 B^3 + \dots, \psi_0 = 1 \quad (13)$$

2.6 예측 수정 및 실시간 예측

시각 t 에서의 L 시간 구간 앞선 예측치는 식(11) 로 표시되는 예측 오차를 가지므로 $L=1$ 로 하여 단위시간 구간별로 예측해 나감으로서 실시간 예측치를 구할수 있다. 즉, 식(10) 으로부터

$$\begin{aligned} X_{t+1}(L) &= \sum_{j=L}^{\infty} 4_j \sum_{k=t+1-L+j}^{\infty} \sum_{i=k}^{\infty} \epsilon_{t+1+L-j} = 4_L \sum_{k=t+1}^{\infty} \sum_{i=k}^{\infty} \epsilon_{t+1+L-j} \\ &= 4_L \sum_{k=t+1}^{\infty} \epsilon_{k+1} + X_t(L+1) \end{aligned} \quad (14)$$

한편, 식(10) 에서 $L=1, j=0$ 를 취하면

$$X_{t+1} = 4_0 \sum_{k=t+1}^{\infty} \epsilon_{k+1} + X_t(1) = \sum_{k=t+1}^{\infty} \epsilon_{k+1} + X_t(1) \quad (15)$$

식(15) 를 식(14) ($L=1$ 로 취함) 에 대입하면 실시간 예측치를 구할수 있다.

$$X_{t+1}(L) = X_t(L) + 4_L [X_{t+1} - X_t(1)] \quad (16)$$

3. 자료

월유량의 예측을 위하여 선택된 표본자료는 낙동강 수계중 진동수 위관측교에서 관측된 월평균 수위자료로서 건설부에서 출간된 "한국수문조사서, 수위편" 과 "한국수문조사연보"에 수록되어 있으며 수위-유량 관계곡선(rating curve)에 의하여 월유량으로 환산하였다. 표본자료로 선택된 월유량자료는 1964년부터 1984년까지의 21년간의 자료이고 예측치는 1985년에서 1986년까지의 2년간의 자료와 비교하였다. 각 매개변수는 21년간의 자료에서 구하였다. 이 기간중에 1970년에 남강댐이, 1976년에 안동댐이 준공되어 하천유량의 인위적인 변화를 예상할수 있으며 자연현상에 의하여 발생할수 있는 장기간에 걸친 경향도 있을것으로 생각한다.

4. 자료의 분석 및 결과토론

4.1 월유량 자료의 변환

진동지점의 월유량자료를 Multiplicative ARIMA 모형에 맞추어 해석하기 위해서는 월유량 자료의 정규분포화가 필요하다. 따라서 유량의 적정분포형을 결정하기 위해 대수정규분포를 가정하여 Kolmogorov-Smirnov Test 에 의해 유의수준 5 %로 분포형 검정을 실시한 결과 대수정규분포의 적합성이 인정되었으며 월유량자료 계열은 대수치로 변환하여 추후의 분석에 사용하였다.

4.2 모형의 차수선정

진동지점에서의 월유량자료의 대수를 취한 자료값을 비계절성 계차 ($d=0,1,2$) 와 계절성 ($D=0,1,2$) 의 가능한 계차수를 고려하여, 자기상관도를 그림(4.1) 에서와 같이 구하였다. 1 차 계절성 계차는 자기상관함수에 있어 주기성을 크게 배제시키며, 동시에 1 차 비계절성 계차 ($D=1, d=1$) 도 경향을 줄여줌을 알수 있다. 이러한 거동은 계절성, 비계절성 Moving Average 항을 포함하려는 경향이 있다. 따라서 $ARIMA(2,0,0) \times (0,1,1)_{12}$ 모형을 선정하기로 하였다. 이는 BOX 와 JENKINS 가 국제공항을 이용하는 월 승객수의 대수치를 자료로 나타낸 것과 동일하다. 그러나, 일반적인 수문자료에서는 장기성향을 보이지 않기 때문에 비계절성 계차는 불필요하고 계열이 $AR(1)$, 혹은 $AR(2)$ 항을 필요로 하므로 $ARIMA(2,0,0) \times (0,1,1)_{12}$ 모형을 역시 고려하였다.

4.3 매개변수의 산정

4.3.1 최우법

$ARIMA(0,1,1) \times (0,1,1)_{12}$ 모형(I) 을 식(5) 로 표현하면

$$(1-B)(1-B^{12})y_t = (1-\theta_1 B)(1-\theta_1 B^{12})e_t \quad (17)$$

식(17) 을 전개하면

$$y_t = y_{t-1} + y_{t-12} - y_{t-13} + e_t - \theta_1 e_{t-1} - \theta_1 e_{t-12} + \theta_1 \theta_1 e_{t-13} \quad (18)$$

$ARIMA(2,0,0) \times (0,1,1)_{12}$ 모형(I) 을 식(5) 로 표현하면

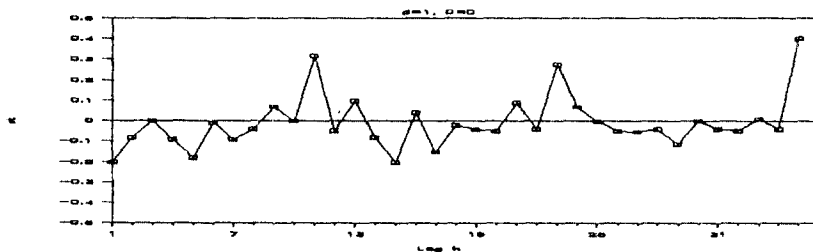
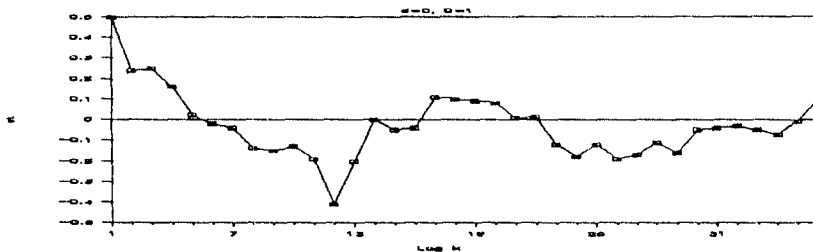
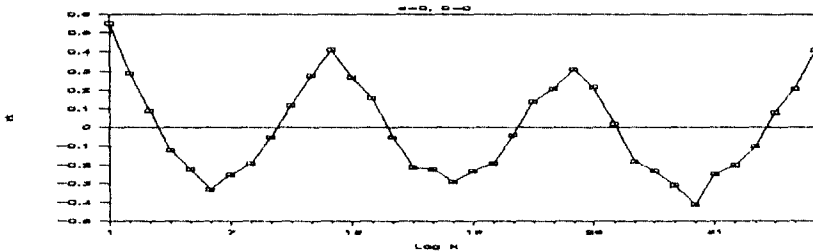
$$(1 - \Phi_1 B - \Phi_2 B^2)(1 - B^{12})y_t = (1 - \Theta_1 B^{12})e_t \quad (19)$$

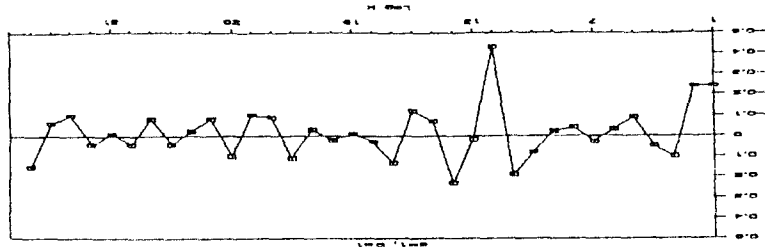
식(19)을 전개하면

$$y_t = \Phi_1 y_{t-1} + \Phi_2 y_{t-12} + y_{t-12} - \Phi_1 y_{t-13} - \Phi_2 y_{t-14} + e_t - \Theta_1 e_{t-12} \quad (20)$$

이를 최우법을 적용하여 모형(I), (II)의 매개변수를 각각 구하면 모형(I)의 경우에는 $\sigma e_t^2(\theta_1, \theta_1)$ 면을 $0.4 < \theta_1 < 0.6$ 이고 $\theta_1 = 0.1$ 인 경우에 최소면을 이루게 되고 비선형추적법에 의해 최종치를 구하면 $\theta_1 = 0.54924$ 이고 $\theta_1 = 0.79380$ 이 된다.

또한 모형(II)의 경우에는 $\sigma e_t^2(\phi_1, \phi_2, \theta_1)$ 면을 $0.4 < \phi_1 < 0.7$ 이고 $\phi_2 = 0$ 그리고 $0.7 < \theta_1 < 1$ 인 경우에 잔차의 제곱의 합이 최소를 이루게 되며 비선형추적법에 의해 최종치를 구하면 $\phi_1 = 0.45849$, $\phi_2 = 0.05349$,





그림(4.1) 진동의 자기상관계수 여기서 $W_t = \nabla^d \nabla^D y_t$
 $, y_t = I_m Q_t$

$\Theta_1 = 0.78817$ 이 된다.

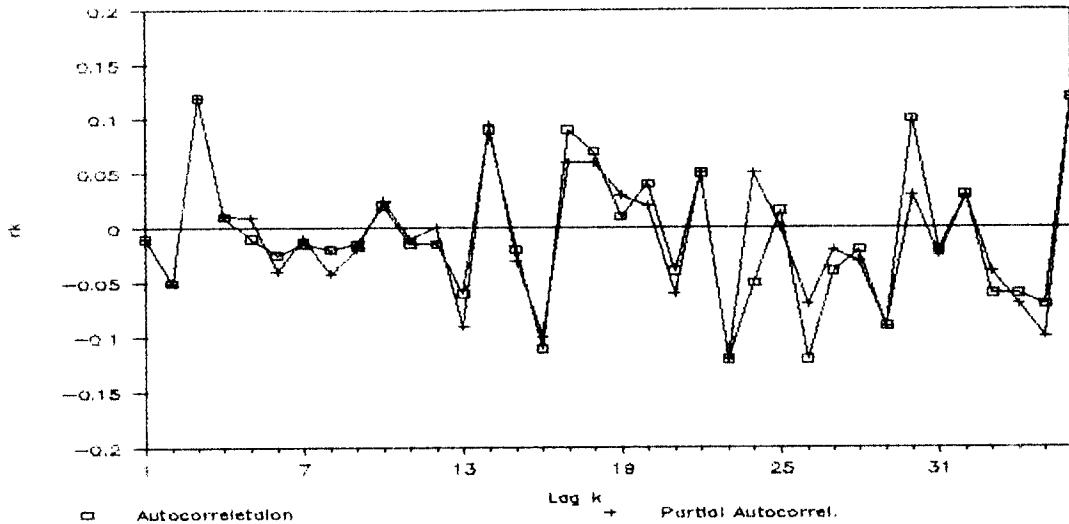
4.3.3 매개변수의 확인검산

모형 (I) 의 잔차 ϵ_t 를 구하여 처음 20 개의 값을 Porte Manteau Test 을 시행하면 $Q= 25.2653$ 이고 10% 유의수준에서 $\chi^2_{0.9, 18} = 26.0$ 이므로 잔차의 값은 서로 독립적이라고 할수 있고 잔차의 자기상관도도 난수계열임을 입증하였다. 마찬가지로 모형(II) 의 잔차를 구하여 Porte Manteau Test 를 실시하면 $Q= 13.8368$ 이고 10 % 유의수준에서 $\chi^2_{0.9, 17} = 24.8$ 이므로 잔차의 값은 서로 독립적이라고 할수있고 잔차의 자기상관도도 역시 난수계열임을 나타내었다. 따라서 본 진동 지점에 대해서는 모형(I) 과 모형(II) 어느것이나 유출예측에 사용될 수 있을것으로 보이며 본 연구에서는 모형 (II) 을 선택하였다.

모형(II) 의 잔차는

$$\epsilon_t = y_t - \Phi_1 y_{t-1} - \Phi_2 y_{t-2} + \Theta_1 y_{t-12} + \Phi_2 y_{t-12} + \Theta_1 \epsilon_{t-12} \quad (2)$$

그리고 잔차의 자기상관도와 부분자기 상관도를 그림(4.2) 에 나타내었는데 이는 잔차가 서로 독립적임을 보여준다. 따라서 ARIMA(2, 0, 0)x(0, 1, 1)₁₂ 모형이 진동의 대수자료치의 적용에 적당함을 알수있다.



그림(4.2) 진동에 적용된 잔차의 자기상관도와 부분자기상관도

4.4 예측 및 예측오차

진동지점의 월유량자료 계열 X_t 의 대수치계열 $y_t = \ln X_t$ 를 ARIMA $(2,0,0) \times (0,1,1)_{12}$ 모형으로 표시하면 식(7)로부터

$$y_t = \phi_1 y_{t-1} + \phi_2 y_{t-2} + y_{t-12} - \phi_1 y_{t-13} - \phi_2 y_{t-14} + e_t - \theta_1 e_{t-12} \quad (22)$$

따라서, 시간 t 에서 L 시간 앞선 예측치를 구하기 위한 예측함수 (forecast function)은 식(8)의 형태로 표시될수 있고 L 값에 따라 예측치를 차례로 구할수 있다. 예를 들어 $t=252$ 번째 달(21년의 마지막 달)을 기준으로 하여 예측치를 구하면

$$\begin{aligned} y_{252}(1) &= \phi_1 y_{252} + \phi_2 y_{251} + y_{241} - \phi_1 y_{240} - \phi_2 y_{239} - \theta_1 e_{241} \\ &= 4.654 \end{aligned}$$

마찬가지로 14 번째 달을 예측하면

$$\begin{aligned} y_{252}(14) &= \phi_1 y_{252}(13) + \phi_2 y_{252}(12) + y_{252}(2) - \phi_1 y_{252}(1) - \phi_2 y_{252} \\ &= 4.568 \end{aligned}$$

한편, 예측오차의 계산을 위해 필요한 가중치 ϕ_j 는 식(12)의 관계

로 부터 구할수 있으며 ARIMA (2,0,0)x(0,1,1)₁₂ 의 경우에 진동지점의 월유량자료로부터 구한 값은 표 (4.1) 과 같다.

표(4.1) 진동의 대수치에 적용된 ARIMA(2,0,0)x(0,1,1)₁₂

모형의 예측오차의 Ψ 값

WEIGHTS USED IN CALCULATING CONFIDENCE LIMITS AND UPDATING FORECASTS AFTER NEW OBSERVATION

J	PS(J)	J	PS(J)
0	1.000000	13	0.097525
1	0.458490	14	0.056084
2	0.263703	15	0.030930
3	0.145430	16	0.017181
4	0.080784	17	0.009532
5	0.044818	18	0.005289
6	0.024870	19	0.002935
7	0.013800	20	0.001629
8	0.007657	21	0.000904
9	0.004249	22	0.000501
10	0.002358	23	0.000278
11	0.001308	24	0.211984
12	0.212556		

4.5 역변환

4.4 절에서 구한 진동지점의 L 개월 앞선 시점에서의 예측치를 모멘트법(method of moment)에 의하여 역변환시켰으며 이를 지수법(method of exponation)으로 변환시킨 결과와 비교하였다.

$$q_t(L) = \exp \left[y_t(L) + \frac{1}{2} S y_t^2(L) \right]$$

이고

$$S_t(L) = q_t(L) \{ \exp [S y_t^2(L)] - 1 \}^{1/2}$$

또한 예측치는 1984 년 12 월 자료를 기준으로 하였으며 이를 실제 관측치 (1985 년 - 1986 년) 의 대수치와 함께 그림 (4.3) 에 도시하였으며, 그림(4.4)에는 대수치를 모멘트법으로 변환시킨 월유량을 그림(4.5)에는 지수법으로 역변환시킨 월유량자료를 관측치와 비교하였다. 또한,

2 년간의 관측치 및 예측치의 통계적인 특성은 표(4.2) 에 비교하였다.

표(4.2) 자료의 기본적인 통계특성

	예측치	관측치
자료의 수	24	24
평균	413.245	385.95
분산	113669	99533.6
표준편차	337.149	315.49
중간값	300.53	252.225

4.6 예측수정과 실시간예측

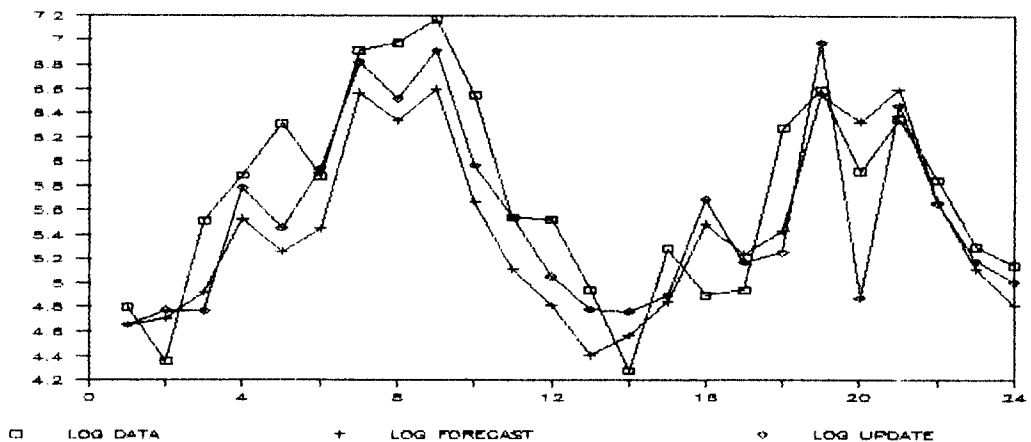
예측수정에 의한 실시간 예측은 식(16)에 의해 가능하며, 관측자료 계열의 마지막 시간(252 번째 달)에서의 1 개월 앞선 유량 $y_{252}(1)$ 와 2 개월 앞선 유량 $y_{252}(2)$ 를 식(8)로 계산하고나면 다음달(253 번째 달)에서의 예측수정에 의한 실시간 예측치는 다음과 같이 구한다.

$$y_{253}(1) = y_{252}(2) + \varphi_1 (y_{253} - y_{252}(1))$$

$$y_{253}(2) = y_{252}(3) + \varphi_2 (y_{253} - y_{252}(1))$$

⋮

$$y_{254}(1) = y_{253}(2) + \varphi_1 (y_{254} - y_{252}(1))$$



그림(4.3) 진동의 월유량에 적용된 $ARIMA(2,0,0) \times (0,1,1)_{12}$ 모형의 대수 예측치

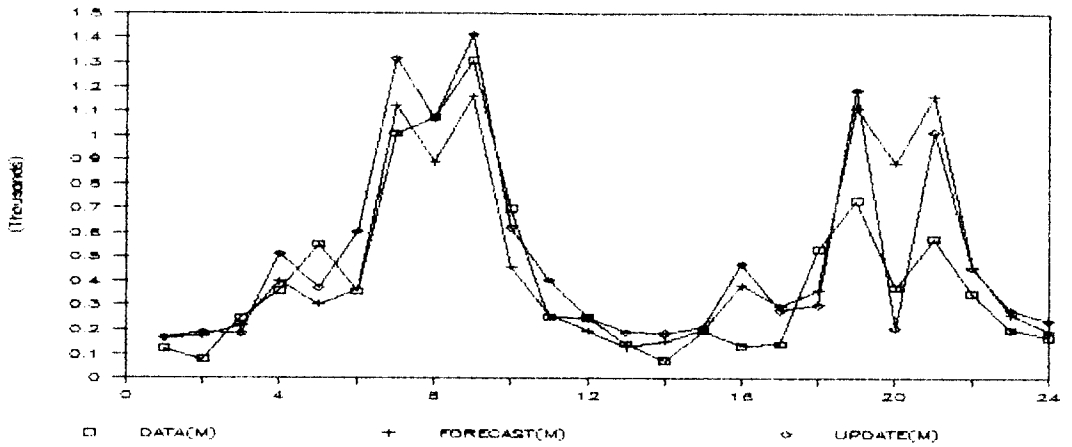


그림 (4.4) 진동의 월유량에 적용된 $ARIMA(2,0,0) \times (0,1,1)_{12}$ 모형의 예측치(모멘트법에 의한 변환)

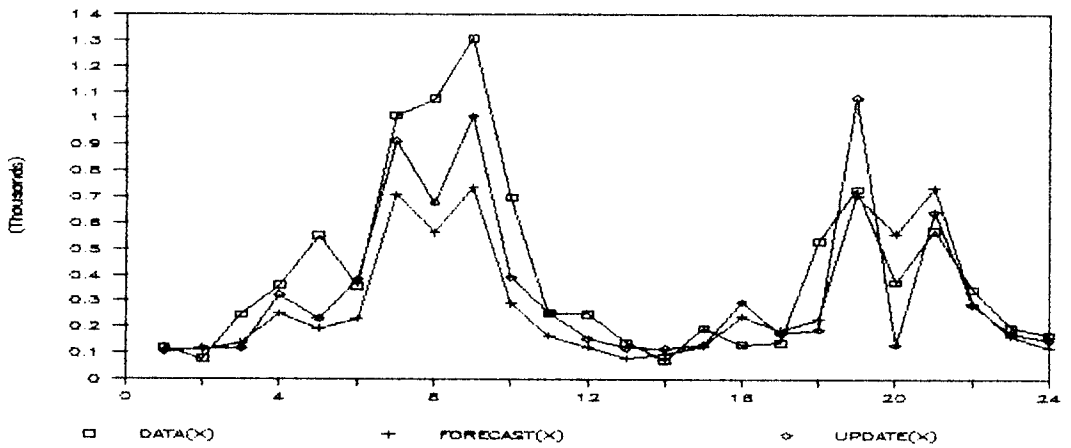


그림 (4.5) 진동의 월유량에 적용된 $ARIMA(2,0,0) \times (0,1,1)_{12}$ 모형의 예측치(지수법에 의한 변환)

이상의 방법으로 예측수정값을 계산하여 얻은 유량대수치의 실시간 예측치는 그림(4.4)에서 관측치 및 예측치와 비교되어있다. 그림에서 볼수있는 바와 같이 예측수정에 의한 실시간예측치는 수정하지 않은 예측치보다 관측치에 더 잘 맞음을 알수있다.

5. 결론

본 연구에서는 진동지점의 21 년간의 월유량자료를 Multiplicative ARIMA 모형에 적용하기 위한 매개변수 산정과 월유량을 모의예측하여 실측자료와 비교하였으며, 결과를 분석한 결론은 다음과 같다.

- 1) ARIMA 모형의 매개변수 및 차수결정에 있어서 계절 자기상관도와 부분 계절 자기상관도를 가지고 판단하였으며, 확인을 위해서 잔차의 계절 자기상관도를 이용하였다. 또 Porte Manteau Test 를 잔차의 값에 적용하였으며 이 방법에 의해 모형의 차수결정을 올바르게 할 수 있는 것으로 나타났다.
- 2) ARIMA 모형의 매개변수 산정을 잔차에 최우법(maximum likelihood method) 을 적용하여 매개변수들의 범위를 계산하여 비선형 반복계산(nonlinear iterative estimation) 을 실시하여 매개변수의 값을 정확하게 구할수 있다.
- 3) $ARIMA(2,0,0) \times (0,1,1)_{12}$ 모형은 오직 4 개의 매개변수만이 필요하고 월평균의 계절적 변화를 설명할수 있으나 각 달의 표준편차의 계절적 변화를 표시하지 못하므로 예측치의 오차는 물리적으로 정확하지 못하고 실제유량으로도 정확하게 변환되지 못하게되므로 지수법(method of moment) 을 사용하여 각 달의 표준편차를 고려하여 역변환함으로서 실측치에 가까운 값을 얻을 수 있다.
- 4) $ARIMA(2,0,0) \times (0,1,1)_{12}$ 모형이 실제 진동 지점의 월유량의 모의 예측에 적합한지를 판단하기 위해서 실측치와 예측치의 두 집단의 표준편차와 평균의 일치도를 판정한 결과 실제유량의 모의예측에 유용한것으로 판단되었다.

참 고 문 헌

1. 윤 용 남, "공업 수문학", 청문각 1986
2. 윤 용 남, "수리학", 청문각 1986
3. 최 영 박, "수문학", 보성출판사 1981
4. 최 영 박, 윤 용 남, "확률의 기초 개념", 형설출판사 1982
5. Chareles T. Han, "Statistical Method in Hydrology", Iowa State University Press 1977
6. J.D.Salas, J.W.Dellelur, V.Yevjevich and W.L.Lane, " Applied Modeling of Hydrologic Time Series", WRP 1980
7. Rafael L.Bras and Ignacio Rodriguez - Iturbe, "Random Functions and Hydrology", Addison-Wesley 1985
8. V. Yevjuvich, "Stochastic Process in Hydrology", WRP 1972
9. Enders A. Robinson, " Time Series Analysis and Applications" ,Goose Pond Press 1981
10. M.A.H. Dempster, "Stochastic Programming", Academic Press 1974
11. A. H. El - Shaarawi and S .R .Esterby, "Time Series Methods in Hydrosiences", McGraw-Hill 1982
12. Box and Jenkins, "Time Series Analysis forecasting and control" , Holden Day 1970